



## تحلیل تیر از جنس ماده مرکب با نقص هندسی اولیه تحت اثر ضربه خارج از محور

کبری قطره سامانی<sup>۱</sup>, علیرضا فتوحی<sup>۲\*</sup>, علیرضا شفیعی<sup>۲</sup>

۱- دانشجوی کارشناسی ارشد، مهندسی مکانیک، دانشگاه یزد، یزد

۲- دانشیار، مهندسی مکانیک، دانشگاه یزد، یزد

\* یزد، صندوق پستی ۸۹۱۹۵-۷۴۱ afotuhi@yazd.ac.ir

### چکیده

در این پژوهش، براساس تئوری تغییرشکل برشی مرتبه سوم معادلات حرکت برای بررسی تغییرشکل یک تیر از جنس ماده مرکب باریک و بلند به دست آمده است. تیر با نقص هندسی اولیه بوده و تحت اثر بار ضربه قرار می‌گیرد. ضربه اعمالی توسط جسم صلب با سرعت مشخص و به صورت خارج از مرکز و در فاصله معینی از تیر زده می‌شود. معادلات حرکت با استفاده از اصل همیلتون و براساس روابط کرنش-جانجایی غیرخطی ون - کارمن بدست آمده‌اند که براساس جانجایی‌ها و به صورت مجموعه‌ای از معادلات دیفرانسیل جزئی غیرخطی وابسته به یکدیگر و در حالت دینامیکی می‌باشدند. از روش تربیع دیفرانسیلی تعیین یافته برای گسته‌سازی معادلات به دست آمده و تبدیل آن‌ها به مجموعه‌ای از معادلات دیفرانسیل معمولی استفاده شده است. روش تکار نیوتن - رافسون برای حل معادلات جبری غیرخطی سیستم به کار برد شده است. در ادامه با حل معادلات حاکم بر سیستم به بررسی تأثیر مقدار نقص هندسی اولیه تیر بر تغییر شکل آن پرداخته شده است. همچنین تأثیر جرم و سرعت ضربه‌زننده بر تغییرشکل تیر بررسی و نتایج حاصل از این تحقیق نشان می‌دهد با افزایش مقدار سرعت اولیه و جرم ضربه‌زننده، تغییرشکل تیر نیز به طور قابل ملاحظه‌ای افزایش می‌یابد.

### اطلاعات مقاله

مقاله پژوهشی کامل

دربافت: ۲۵ بهمن ۱۳۹۵

پذیرش: ۲۳ فروردین ۱۳۹۶

ارائه در سایت: ۱۳ اردیبهشت ۱۳۹۶

کلید واژگان:

مواد مرکب

تیر

ضریبه

تئوری تغییرشکل برشی مرتبه سوم

روش تربیع دیفرانسیلی تعیین یافته

## Analysis of composite beam, having initial geometric imperfection, subjected to off-center impact

Kobra Ghatreh Samani, Ali Reza Fotuhi\*, Ali Reza Shafiei

Department of Mechanical Engineering, Yazd University, Yazd, Iran  
\*P.O.B.89195-741, Yazd, Iran. afotuhi@yazd.ac.ir

### ARTICLE INFORMATION

Original Research Paper  
Received 13 February 2017  
Accepted 12 April 2017  
Available Online 03 May 2017

**Keywords:**  
Composite  
Beam  
Impact  
Third Order Shear Deformation Theory  
Generalized Differential Quadrature Method

### ABSTRACT

In this study, based on the third-order shear deformation theory the equations of motion are obtained to analyze the deformation of a long and slender composite beam. The beam has initial geometric imperfection and is subjected to impact load. The impact procedures are applied by rigid body with a specific speed, off-center and at a certain distance from the beam's surface. Hamilton's principle and the von-Karman nonlinear strain-displacement relationship are used to obtain the equations of motion that are based on displacement and in a set of coupled nonlinear partial differential equations in dynamic mode. The generalized differential quadrature Method (GDQM) is used to discretize the obtained equations and convert them into a set of ordinary differential equations. Newton-Raphson iterative scheme is employed to solve the resulting system of nonlinear algebraic equations. Then, by solving the equations of the system, the effects of initial geometric imperfection on the beam's deflection have been studied. Also, the effects of mass and the initial velocity of the impactor on the beam's deformation are investigated. The results of this research show that an increase in the amount of the initial velocity and mass of the impactor entail an increase in the beam deformation.

### نمود.

از جمله تحقیقات انجام شده پیرامون تحلیل ستون‌ها پژوهش آری گور و همکارش برای به دست آوردن پاسخ دینامیکی یک ستون تحت اثر ضربه محوری می‌باشد. در این مطالعه که به صورت تئوری و آزمایشگاهی انجام شده است ستون با نقص هندسی اولیه در نظر گرفته شده و معیاری هم برای کمانش دینامیکی تعریف شده است [3]. واسن و جی کمانش ستون در اثر بار ضربه‌ای را در حالت خطی بررسی کرده‌اند. با حل هم‌زمان معادله موج و معادله تیر اوپلر-برنولی اثر انتشار موج نیز در محاسبات لحاظ شده است.

### ۱- مقدمه

مواد مرکب کاربرد گسترده‌ای در صنایع مختلف از جمله هواپیاء، اتومبیل‌سازی، کشتی‌سازی و صنایع دیگر دارند. تاکنون تحقیقات بسیاری برای تحلیل تیرها و ورق‌ها از جنس مواد مرکب تحت بارگذاری‌های مختلف از جمله بارهای ضربه‌ای صورت گرفته است. در برخی از این پژوهش‌ها به تحلیل ورق‌ها تحت بارگذاری ضربه‌ای پرداخته شده که می‌توان به پژوهش پانگ و چانگ در سال ۱۹۸۹ که با روش المان محدود صورت گرفته [1] و یا پژوهش آبراموویچ و گرانوالد که به صورت آزمایشگاهی انجام شده [2] اشاره

Please cite this article using:

K. Ghatreh Samani, A. R. Fotuhi, A. R. Shafiei, Analysis of composite beam, having initial geometric imperfection, subjected to off-center impact, *Modares Mechanical Engineering*, Vol. 17, No. 5, pp. 185-192, 2017 (in Persian)

برای ارجاع به این مقاله از عبارت ذیل استفاده نمایید:

به صورت تیر در نظر گرفته می‌شود، این پژوهش برای تحلیل قطعاتی از جنس مواد مرکب که تحت ضربه قرار می‌گیرند می‌تواند به کار رود.

## 2- معادلات حرکت

یک تیر به طول  $a$ ، عرض  $b$  و ضخامت  $h$  مطابق "شکل 1"، در نظر بگیرید. میدان جابجایی با توجه به تئوری تغییرشکل برشی مرتبه سوم ردي مطابق رابطه (1) در نظر گرفته می‌شوند.

$$\begin{aligned} u(x, z, t) &= u_0(x, t) + z\phi(x, t) - c_1 z^3(\phi(x, t) + \frac{\partial w_0(x, t)}{\partial x} - \frac{\partial \bar{w}_0(x)}{\partial x}) \\ w(x, z, t) &= w_0(x, t) - \bar{w}_0(x) \end{aligned} \quad (1)$$

که در آن  $c_1 = 4/3h^2$  در نظر گرفته شده و  $w_0(x)$  نقص هندسی اولیه را نشان می‌دهد،  $u_0$  و  $\phi$  به ترتیب نشان‌دهنده جابجایی طولی مقطع میانی تیر، جابجایی عرضی و چرخش سطح نسبت به محور عمودی می‌باشند. بنابراین با توجه به رابطه کرنش - تغییرمکان ون - کارمن و میدان جابجایی می‌توان روابط غیرخطی کرنش را به دست آورد.

$$\begin{aligned} \varepsilon_{xx} &= \frac{\partial u_0}{\partial x} + z \frac{\partial \phi}{\partial x} - c_1 z^3 \left( \frac{\partial \phi}{\partial x} + \frac{\partial^2 w_0}{\partial x^2} - \frac{\partial^2 \bar{w}_0}{\partial x^2} \right) \\ &\quad + \frac{1}{2} \left( \frac{\partial w_0}{\partial x} \right)^2 - \frac{1}{2} \left( \frac{\partial \bar{w}_0}{\partial x} \right)^2 \end{aligned} \quad (2)$$

$\gamma_{xz} = \phi - 3c_1 z^2 \left( \phi + \frac{\partial w_0}{\partial x} - \frac{\partial \bar{w}_0}{\partial x} \right) + \frac{\partial w_0}{\partial x} - \frac{\partial \bar{w}_0}{\partial x}$  برای به دست آوردن معادلات، تیر از جنس ماده مرکب در نظر گرفته شده که توسط یک جسم صلب با سرعت  $v_0$ ، تحت ضربه در فاصله  $e$  از مرکز سطح مقطع تیر قرار می‌گیرد. با استفاده از اصل همیلتون و انتگرال گیری جزیه‌جز و همچنین استفاده از روابط کرنش - جابجایی و برابر صفر قرار دادن ضرایب  $\delta u_0$ ،  $\delta w_0$  و  $\delta \phi$  معادلات غیرخطی حاکم به دست می‌آیند.

$$\frac{\partial N_{xx}}{\partial x} = I_0 \frac{\partial^2 u_0}{\partial t^2} \quad (الف)$$

$$\frac{\partial M_{xx}}{\partial x} - c_1 \frac{\partial P_{xx}}{\partial x} - Q_x + 3c_1 R_x = (I_2 - 2c_1 I_4 + c_1^2 I_6) \frac{\partial^2 \phi}{\partial t^2} \quad (ب)$$

$$\frac{\partial Q_x}{\partial x} + c_1 \frac{\partial^2 P_{xx}}{\partial x^2} - 3c_1 \frac{\partial R_x}{\partial x} + \frac{\partial}{\partial x} \left( N_{xx} \frac{\partial w_0}{\partial x} \right) = I_0 \frac{\partial^2 w_0}{\partial t^2} \quad (ب)$$

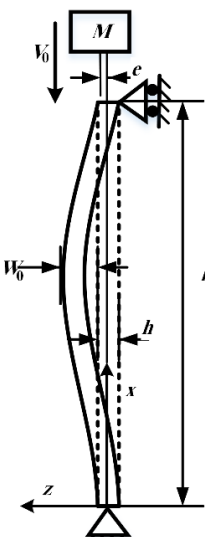


Fig. 1 beam model

شکل 1 مدل تیر

تأثیر جرم و سرعت برخورد کننده بررسی شده و نتایج نشان می‌دهد جرم برخورد کننده تأثیر بسیاری بر زمان کمانش دارد، درصورتی که سرعت برخورد کننده تأثیر چندانی بر روی این کمیت ندارد [4].

برخی پژوهش‌ها برای ساختارهای جدار نازک انجام شده است، کوپیاک در سال 2011 پاسخ دینامیکی ستون‌های جدار نازک با مقطع عرضی باز تحت بار فشاری ضربه‌ای را مورد بحث قرار داده است. در این پژوهش از روش عددی - تحلیلی برای آنالیز مسئله کمانش دینامیکی استفاده شده است [5]. تیتر و کولاکوسکی به تجزیه و تحلیل پاسخ دینامیکی ستون‌های جدار نازک از جنس ماده مرکب با مقطع عرضی باز پرداخته‌اند. نیروهای اینرسی در این پژوهش در نظر گرفته شده‌اند و سه معیار پایداری برای بررسی پاسخ دینامیکی اعمال شده است [6].

حی و واس جابجایی عرضی یک تیر باریک و با نقص هندسی اولیه را تحت بارگذاری ضربه‌ای محوری بررسی کردند. در این مطالعه تأثیر نقص هندسی اولیه بر رفتار ستون بررسی شده است [7]. در سال 2015 رضوانیان و همکارانش تغییرشکل ستون تحت ضربه غیرمحوری با استفاده از یک جسم صلب را بررسی کردند. با به کارگیری اصل همیلتون و استفاده از مدل تیر تیموشینکو معادلات حرکت به صورت غیرخطی بدست آمدند. در این پژوهش از روش نیومارک و روش تربیع دیفرانسیلی تعمیم‌یافته برای حل معادلات غیرخطی وابسته به زمان استفاده شده است [8].

طله‌های و ژانگ پاسخ کمانش تیر با نقص هندسی اولیه و تحت نیروی ضربه محوری را با روش دیفرانسیل محدود بررسی کردند. فرض تیر تیموشینکو و رابطه کرنش - تغییرمکان ون - کارمن برای به دست آوردن معادلات استفاده شده است. در سال 2002 تئوری تغییرشکل برشی مرتبه اول [9] و در پژوهشی دیگر در سال 2003 از تئوری تغییرشکل برشی مرتبه بالا [10] برای تعیین میدان جابجایی استفاده شده است. تأثیرات نقص هندسی اولیه و همچنین تأثیر سرعت ضربه بر تیر بررسی شده است.

در حالت ضربه سرعت پایین، پژوهش‌هایی بر روی ورق‌ها و تیرها صورت گرفته است. داریوشی و صدیقی [11] با استفاده از تئوری غیرخطی مرتبه بالا، رفتار تیرهای ساندویچی را بررسی کردند. در این پژوهش اثر برخورد ضربه‌زننده در سرعت‌های مختلف به صورت تحلیلی و آزمایشگاهی بررسی شد. پاکنژاد و همکارانش [12]، اثرات بار ضربه‌ای با جرم کوچک را روی یک ورق کامپوزیتی با تکیه‌گاه تمام گیردار با استفاده از روش گالرکین مطالعه و تأثیر پارامترهای جرم و سرعت ضربه‌زننده را بر سازه بررسی کردند. صیفوردی و همکارانش [13]، اثر ضربه کم‌سرعت قائم بر روی نانو تیر تیموشینکو را براساس تئوری غیر محلی برای بررسی رفتار دینامیکی نانو تیر ارائه کردند. در این پژوهش تأثیر نسبت جرم نانو تیر به پرتابه بر روی تغییرشکل دینامیکی نانو تیر تیموشینکو بررسی شد.

در مطالعه حاضر، تغییرشکل یک تیر از جنس ماده مرکب با نقص هندسی اولیه تحت ضربه یک جسم صلب بررسی شده است. ضربه به صورت خارج از مرکز به ستون زده می‌شود. با استفاده از اصل همیلتون و براساس تئوری تغییرشکل برشی مرتبه سوم معادلات حرکت به صورت مجموعه‌ای از معادلات غیرخطی و دینامیکی به دست آمده است. از روش نیومارک و تربیع دیفرانسیلی تعمیم‌یافته برای تبدیل معادلات غیرخطی با مشتق‌ات جزئی به معادلات دیفرانسیل معمولی استفاده شده است. برای حل معادلات غیرخطی از روش تکرار نیوتون- رافسون استفاده شده و اثر مقادیر نقص هندسی اولیه و چیدمان لایه‌ها بر تیر بررسی شده است. تأثیر سرعت و جرم ضربه‌زننده نیز بر تغییرشکل تیر بررسی شده است. با توجه به کاربرد قطعاتی که در سازه‌ها

$$\begin{aligned}
 & + (6c_1 D_{55} - A_{55} - 9c_1^2 F_{55}) \left( \phi + \frac{\partial w_0}{\partial x} - \frac{\partial \bar{w}_0}{\partial x} \right) \\
 & = (I_2 - 2c_1 I_4 + c_1^2 I_6) \frac{\partial^2 \phi}{\partial t^2} \\
 & c_1 E_{11} \left( \frac{\partial^3 u_0}{\partial x^3} \right) + (c_1 F_{11} - c_1^2 H_{11}) \left( \frac{\partial^3 \phi}{\partial x^3} \right) \\
 & - c_1^2 H_{11} \left( \frac{\partial^4 w_0}{\partial x^4} - \frac{\partial^4 \bar{w}_0}{\partial x^4} \right) + \frac{3}{2} A_{11} \left( \left( \frac{\partial w_0}{\partial x} \right)^2 \left( \frac{\partial^2 w_0}{\partial x^2} \right) \right) \\
 & + (A_{55} - 6c_1 D_{55} + 9c_1^2 F_{55}) \left( \frac{\partial \phi}{\partial x} + \frac{\partial^2 w_0}{\partial x^2} - \frac{\partial^2 \bar{w}_0}{\partial x^2} \right) \\
 & + A_{11} \left( \left( \frac{\partial^2 u_0}{\partial x^2} \right) \left( \frac{\partial w_0}{\partial x} \right) + \left( \frac{\partial u_0}{\partial x} \right) \left( \frac{\partial^2 w_0}{\partial x^2} \right) \right) \\
 & + (B_{11} - c_1 E_{11}) \left( \left( \frac{\partial^2 \phi}{\partial x^2} \right) \left( \frac{\partial w_0}{\partial x} \right) + \left( \frac{\partial \phi}{\partial x} \right) \left( \frac{\partial^2 w_0}{\partial x^2} \right) \right) \\
 & - A_{11} \left( \left( \frac{\partial w_0}{\partial x} \right) \left( \frac{\partial \bar{w}_0}{\partial x} \right) \left( \frac{\partial^2 \bar{w}_0}{\partial x^2} \right) + \frac{1}{2} \left( \frac{\partial^2 w_0}{\partial x^2} \right) \left( \frac{\partial \bar{w}_0}{\partial x} \right)^2 \right) \\
 & = I_0 \left( \frac{\partial^2 w_0}{\partial t^2} \right)
 \end{aligned} \tag{12}$$

همانند مراحلی که برای معادلات حرکت انجام شد، برای شرایط مرزی نیز صورت گرفته و بنابراین معادله (7) نیز براساس جابجایی‌ها مطابق رابطه (13) خواهد شد.

$$\begin{aligned}
 & A_{11} \left( \frac{\partial u_0}{\partial x} + \frac{1}{2} \left( \frac{\partial w_0}{\partial x} \right)^2 - \frac{1}{2} \left( \frac{\partial \bar{w}_0}{\partial x} \right)^2 \right) + (B_{11} - c_1 E_{11}) \left( \frac{\partial \phi}{\partial x} \right) \\
 & - c_1 E_{11} \left( \frac{\partial^2 w_0}{\partial x^2} - \frac{\partial^2 \bar{w}_0}{\partial x^2} \right) = \frac{M}{b} g - \frac{M}{b} \frac{\partial^2 u_0}{\partial t^2} \\
 & + \frac{M(c_1 e^3 - e)}{b} \frac{\partial^2 \phi}{\partial t^2} \\
 & (B_{11} - c_1 E_{11}) \left( \frac{\partial u_0}{\partial x} + \frac{1}{2} \left( \frac{\partial w_0}{\partial x} \right)^2 - \frac{1}{2} \left( \frac{\partial \bar{w}_0}{\partial x} \right)^2 \right) \\
 & + (D_{11} - 2c_1 F_{11} + c_1^2 H_{11}) \left( \frac{\partial \phi}{\partial x} \right) \\
 & + (c_1^2 H_{11} - c_1 F_{11}) \left( \frac{\partial^2 w_0}{\partial x^2} - \frac{\partial^2 \bar{w}_0}{\partial x^2} \right) \\
 & = \frac{M(e - c_1 e^3)}{b} g + \frac{M(c_1 e^3 - e)}{b} \frac{\partial^2 u_0}{\partial t^2} \\
 & - \frac{M(e^2 - 2c_1 e^4 + c_1^2 e^6)}{b} \frac{\partial^2 \phi}{\partial t^2} \\
 & w_0 = 0
 \end{aligned} \tag{13}$$

که در آن

$$\begin{aligned}
 & (A_{11}; B_{11}; D_{11}; E_{11}; F_{11}; H_{11}) \\
 & = \sum_{k=1}^N \int_{-h/2}^{h/2} \bar{Q}_{11}^{(k)}(1; z; z^2; z^3; z^4; z^6) dz \\
 & (A_{55}; D_{55}; F_{55}) = \sum_{k=1}^N \int_{-h/2}^{h/2} \bar{Q}_{55}^{(k)}(1; z^2; z^4) dz
 \end{aligned} \tag{14}$$

### 3- حل عددی

برای حل معادلات پارهای حاکم بر سیستم روش‌های نیومارک و تربیع دیفرانسیلی تعمیم یافته استفاده می‌شود تا معادلات به مجموعه‌ای از معادلات جبری تبدیل شوند.

روش نیومارک یکی از روش‌های عددی برای حل مسائل دینامیکی می‌باشد، در این روش توابع شتاب و سرعت برای مرحله  $k \geq 1$  به صورت زیر تقریب زده می‌شوند [15].

روابط (4) و (5) و (6) جهت ساده‌سازی معادلات استفاده شده است.

$$(N_{xx}; M_{xx}) = \int_{-h/2}^{h/2} \sigma_{xx}(1; z) dz \tag{4}$$

$$(Q_x; R_x) = \int_{-h/2}^{h/2} \tau_{xz}(1; z^2) dz \tag{5}$$

$$(I_0; I_2; I_4; I_6) = \int_{-h/2}^{h/2} \rho(1; z^2; z^4; z^6) dz \tag{6}$$

شرایط مرزی در  $x=l$  براساس اثر ضربه‌زننده طبق رابطه (7) و در  $x=0$  با

توجه به فرض تکیه‌گاه ساده طبق رابطه (8) تعریف می‌شود.

$$\begin{aligned}
 N_{xx} - \frac{M}{b} g + \frac{M}{b} \frac{\partial^2 u_0}{\partial t^2} + \frac{M(e - c_1 e^3)}{b} \frac{\partial^2 \phi}{\partial t^2} &= 0 \\
 M_{xx} - c_1 P_{xx} + \frac{M(c_1 e^3 - e)}{b} g + \frac{M(e - c_1 e^3)}{b} \frac{\partial^2 u_0}{\partial t^2} \\
 + \frac{M(e^2 - 2c_1 e^4 + c_1^2 e^6)}{b} \frac{\partial^2 \phi}{\partial t^2} &= 0
 \end{aligned}$$

$$w_0 = 0 \tag{7}$$

$$u_0 = 0, \quad w_0 = 0, \quad \frac{\partial \phi}{\partial x} = 0 \tag{8}$$

در روابط قبل  $M$  جرم ضربه‌زننده و  $g$  شتاب گرانش می‌باشد. با فرض

ساکن بودن تیر در لحظه  $t=0$  شرایط اولیه برای سیستم به صورت رابطه (9) در نظر گرفته می‌شود.

$$\begin{aligned}
 u_0(x, 0) &= \phi(x, 0) = w_0(x, 0) = 0 \quad x \in [0, l] \\
 \frac{\partial \phi}{\partial t}(x, 0) &= \frac{\partial w_0}{\partial t}(x, 0) = 0 \quad x \in [0, l] \\
 \frac{\partial u_0}{\partial t}(x, 0) &= 0 \quad x \in [0, l] \\
 \frac{\partial u_0}{\partial t}(l, 0) &= -v_0
 \end{aligned} \tag{9}$$

رابطه بین تنش و کرنش برای لایه  $l$  ماده مرکب چندلایه طبق رابطه (10) تعریف می‌شود.

$$\begin{aligned}
 \begin{bmatrix} \sigma_{xx} \\ \sigma_{yy} \\ \tau_{xy} \end{bmatrix} &= \begin{bmatrix} \bar{Q}_{11} & \bar{Q}_{12} & \bar{Q}_{16} \\ \bar{Q}_{12} & \bar{Q}_{22} & \bar{Q}_{26} \\ \bar{Q}_{16} & \bar{Q}_{26} & \bar{Q}_{66} \end{bmatrix} \begin{bmatrix} \varepsilon_{xx} \\ \varepsilon_{yy} \\ \gamma_{xy} \end{bmatrix} \tag{الف}
 \end{aligned}$$

$$\begin{aligned}
 \begin{bmatrix} \tau_{yz} \\ \tau_{xz} \end{bmatrix} &= \begin{bmatrix} \bar{Q}_{44} & \bar{Q}_{45} \\ \bar{Q}_{45} & \bar{Q}_{55} \end{bmatrix} \begin{bmatrix} \gamma_{yz} \\ \gamma_{xz} \end{bmatrix} \tag{ب-الف}
 \end{aligned}$$

که  $\bar{Q}_{ij}$ ‌ها ضربی سختی تبدیل ماده می‌باشند [14]. برای تیر بلند روابط بین تنش و کرنش مطابق معادلات (11-الف و ب) ساده می‌شوند.

$$\sigma_{xx} = \bar{Q}_{11} \varepsilon_{xx} \tag{11-الف}$$

$$\tau_{xz} = \bar{Q}_{55} \gamma_{xz} \tag{11-ب}$$

با جایگذاری روابط (11-الف و ب) در روابط (3-الف، ب و ب) و با توجه به رابطه (2) معادلات حرکت بر حسب جابجایی‌ها به دست می‌آیند.

$$\begin{aligned}
 A_{11} \left( \frac{\partial^2 u_0}{\partial x^2} + \frac{\partial w_0}{\partial x} \frac{\partial^2 w_0}{\partial x^2} - \frac{\partial \bar{w}_0}{\partial x} \frac{\partial^2 \bar{w}_0}{\partial x^2} \right) + (B_{11} - c_1 E_{11}) \left( \frac{\partial^2 \phi}{\partial x^2} \right) \\
 - c_1 E_{11} \left( \frac{\partial^3 w_0}{\partial x^3} - \frac{\partial^3 \bar{w}_0}{\partial x^3} \right) = I_0 \frac{\partial^2 u_0}{\partial t^2}
 \end{aligned} \tag{12-الف}$$

$$\begin{aligned}
 (B_{11} - c_1 E_{11}) \left( \frac{\partial^2 u_0}{\partial x^2} + \frac{\partial w_0}{\partial x} \frac{\partial^2 w_0}{\partial x^2} - \frac{\partial \bar{w}_0}{\partial x} \frac{\partial^2 \bar{w}_0}{\partial x^2} \right) \\
 + (D_{11} - 2c_1 F_{11} + c_1^2 H_{11}) \left( \frac{\partial^2 \phi}{\partial x^2} \right)
 \end{aligned} \tag{12-ب}$$

$$\begin{aligned}
 + (c_1^2 H_{11} - c_1 F_{11}) \left( \frac{\partial^3 w_0}{\partial x^3} - \frac{\partial^3 \bar{w}_0}{\partial x^3} \right)
 \end{aligned} \tag{12-ب-الف}$$

$$\begin{aligned}
& (B_{11} - c_1 E_{11}) \left[ \sum_{j=2}^N a_{ij}^{(2)} u_0^{k+1}(x_j) + \frac{\pi^3}{2l^3} W_0^2 \sin\left(\frac{2\pi(x_i)}{l}\right) \right. \\
& + \left( \sum_{j=2}^{N-1} a_{ij}^{(1)} w_0^{k+1}(x_j) \right) \left( \sum_{j=2}^{N-1} a_{ij}^{(2)} w_0^{k+1}(x_j) \right) \\
& + (D_{11} - 2c_1 F_{11} + c_1^2 H_{11}) \left( \sum_{j=1}^N a_{ij}^{(2)} \phi^{k+1}(x_j) \right) \\
& + (c_1^2 H_{11} - c_1 F_{11}) \left( \sum_{j=2}^{N-1} a_{ij}^{(3)} w_0^{k+1}(x_j) + \frac{\pi^3}{l^3} W_0 \cos\left(\frac{\pi(x_i)}{l}\right) \right) \\
& + (6c_1 D_{55} - A_{55} - 9c_1^2 F_{55})(\phi^{k+1}(x_i) + \sum_{j=2}^{N-1} a_{ij}^{(1)} w_0^{k+1}(x_j) \\
& - \frac{\pi}{l} W_0 \cos\left(\frac{\pi(x_i)}{l}\right)) - \frac{(I_2 - 2c_1 I_4 + c_1^2 I_6)}{\Delta t^2} (\phi^{k+1}(x_i)) = \\
& - (I_2 - 2c_1 I_4 + c_1^2 I_6) \left( \frac{1}{\Delta t^2} \phi^k(x_i) + \frac{1}{\Delta t} \dot{\phi}^k(x_i) - \frac{1}{2} \ddot{\phi}^k(x_i) \right) \quad (21)
\end{aligned}$$

$$\begin{aligned}
& A_{11} \left[ \frac{\pi^3}{2l^3} W_0^2 \sin\left(\frac{2\pi(x_i)}{l}\right) \left( \sum_{j=2}^{N-1} a_{ij}^{(1)} w_0^{k+1}(x_j) \right) \right. \\
& - \frac{\pi^2}{2l^2} W_0^2 \cos^2\left(\frac{\pi(x_i)}{l}\right) \left( \sum_{j=2}^{N-1} a_{ij}^{(2)} w_0^{k+1}(x_j) \right) \\
& + c_1 E_{11} \left( \sum_{j=2}^N a_{ij}^{(3)} u_0^{k+1}(x_j) \right) \\
& + (c_1 F_{11} - c_1^2 H_{11}) \left( \sum_{j=1}^N a_{ij}^{(3)} \phi^{k+1}(x_j) \right) \\
& - c_1^2 H_{11} \left( \sum_{j=2}^{N-1} a_{ij}^{(4)} w_0^{k+1}(x_j) - \frac{\pi^4}{l^4} W_0 \sin\left(\frac{\pi(x_i)}{l}\right) \right) \\
& + (A_{55} - 6c_1 D_{55} + 9c_1^2 F_{55}) \left( \sum_{j=1}^N a_{ij}^{(1)} \phi^{k+1}(x_j) \right. \\
& + \sum_{j=2}^{N-2} a_{ij}^{(2)} w_0^{k+1}(x_j) + \frac{\pi^2}{l^2} W_0 \sin\left(\frac{\pi(x_i)}{l}\right)) \\
& + A_{11} \left[ \left( \sum_{j=2}^N a_{ij}^{(2)} u_0^{k+1}(x_j) \right) \left( \sum_{j=2}^{N-1} a_{ij}^{(1)} w_0^{k+1}(x_j) \right) \right. \\
& + \left( \sum_{j=2}^N a_{ij}^{(1)} u_0^{k+1}(x_j) \right) \left( \sum_{j=2}^{N-1} a_{ij}^{(2)} w_0^{k+1}(x_j) \right) \\
& + \frac{3}{2} A_{11} \left[ \left( \sum_{j=2}^{N-1} a_{ij}^{(1)} w_0^{k+1}(x_j) \right)^2 \left( \sum_{j=2}^{N-1} a_{ij}^{(2)} w_0^{k+1}(x_j) \right) \right] \\
& + (B_{11} - c_1 E_{11}) \left[ \left( \sum_{j=1}^N a_{ij}^{(2)} \phi^{k+1}(x_j) \right) \left( \sum_{j=2}^{N-1} a_{ij}^{(1)} w_0^{k+1}(x_j) \right) \right. \\
& + \left. \left( \sum_{j=1}^N a_{ij}^{(1)} \phi^{k+1}(x_j) \right) \left( \sum_{j=2}^{N-1} a_{ij}^{(2)} w_0^{k+1}(x_j) \right) \right]
\end{aligned}$$

$$\begin{aligned}
& \ddot{\phi}^{k+1} = \frac{1}{\beta \Delta t^2} (\varphi^{k+1} - \varphi^k) - \frac{1}{\beta \Delta t} \dot{\phi}^k - \left( \frac{1}{2\beta} - 1 \right) \ddot{\phi}^k \\
& \varphi^{k+1} = \dot{\phi}^k + (1 + \alpha) \Delta t \dot{\phi}^k + \alpha \Delta t \ddot{\phi}^{k+1} \\
& \varphi \in \{u_0, \phi, w_0\} \quad (15)
\end{aligned}$$

در معادله بالا  $\alpha$  و  $\beta$  به ثوابت نیومارک معروف هستند که مقدار آنها پایداری و دقت روش را تعیین می‌کند. برای پایداری بدون شرط روش نیومارک در این پژوهش  $\alpha=0.5$  و  $\beta=1$  در نظر گرفته شده است.

برای تبدیل معادلات دیفرانسیل پاره‌ای به معادلات جبری از روش تربیع دیفرانسیلی تعمیم یافته استفاده شده است. در این روش تیر به  $N$  نقطه گسته سازی می‌شود و در هر یک از نقاط مشتقات پاره‌ای به صورت مجموع توابع وزنی خطی در نظر گرفته می‌شوند. ضرایب وزنی برای مشتق مرتبه اول طبق رابطه (16) و برای مشتق مرتبه  $n$  با توجه به رابطه (17) تعیین می‌شوند [16].

$$a_{ij}^{(1)} = \frac{M(x_i)}{(x_i - x_j) M(x_j)} : \text{for } i \neq j, i, j = 1, 2, \dots, N \quad (16-\text{الف})$$

$$a_{ii}^{(1)} = - \sum_{j=1, i \neq j}^N a_{ij}^{(1)} \quad (16-\text{ب})$$

$$a_{ij}^{(n)} = n \left( a_{ij}^{(1)} a_{ij}^{(n-1)} - \frac{a_{ij}^{(n-1)}}{x_i - x_j} \right) : \text{for } i, j = 1, 2, \dots, N \quad i \neq j \quad (17-\text{الف})$$

$$a_{ii}^{(n)} = - \sum_{j=1, i \neq j}^N a_{ij}^{(n)} \quad (17-\text{ب})$$

که در رابطه (16-الف)،  $M(x_k)$  به صورت رابطه (18) با توجه به مختصات نقاط به دست می‌آید.

$$M(x_k) = \prod_{j=1, j \neq k}^N (x_k - x_j) \quad (18)$$

برای تعیین مختصات نقاط در طول تیر از معادله چیزیف-گوس - لوباتو طبق رابطه (19) استفاده شده است [17].

$$x_i = \frac{l}{2} \left[ 1 - \cos \left( \frac{i-1}{N-1} \pi \right) \right] \quad i = 1, 2, \dots, N \quad (19)$$

نقص هندسی اولیه به صورت تابع نیم موج سینوسی طبق رابطه (20) در نظر گرفته شده است [18].

$$\bar{w}_0(x) = W_0 \sin\left(\frac{\pi x}{l}\right) \quad (20)$$

که در رابطه بالا  $W_0$  مقدار بیشینه نقص هندسی اولیه را نشان می‌دهد. با توجه به توضیحات عنوان شده و استفاده از روش‌های عددی بالا، معادلات حرکت به صورت زیر به دست می‌آیند.

$$\begin{aligned}
& A_{11} \left[ \sum_{j=2}^N a_{ij}^{(2)} u_0^{k+1}(x_j) + \frac{\pi^3}{2l^3} W_0^2 \sin\left(\frac{2\pi(x_i)}{l}\right) \right. \\
& + \left( \sum_{j=2}^{N-1} a_{ij}^{(1)} w_0^{k+1}(x_j) \right) \left( \sum_{j=2}^{N-1} a_{ij}^{(2)} w_0^{k+1}(x_j) \right) \\
& - c_1 E_{11} \left( \sum_{j=2}^{N-1} a_{ij}^{(3)} w_0^{k+1}(x_j) + \frac{\pi^3}{l^3} W_0 \cos\left(\frac{\pi(x_i)}{l}\right) \right) \\
& + (B_{11} - c_1 E_{11}) \left( \sum_{j=1}^N a_{ij}^{(2)} \phi^{k+1}(x_j) \right) - \frac{I_0}{\Delta t^2} u_0^{k+1}(x_i) \\
& = - I_0 \left( \frac{1}{\Delta t^2} u_0^k(x_i) + \frac{1}{\Delta t} \dot{u}_0^k(x_i) - \frac{1}{2} \ddot{u}_0^k(x_i) \right) \quad (21-\text{الف})
\end{aligned}$$

#### 4- نتایج عددی

برای حل عددی معادلات از ماده مرکب با جنس شیشه‌اپوکسی با 8 لایه متقارن  $[0_8]$  برای تیر استفاده شده است. خواص این ماده مرکب طبق جدول 1 می‌باشد، همچنین مشخصات هندسی این تیر نیز در این جدول ذکر شده است. مقدار بیشینه نقص هندسی اولیه برابر 10٪ خامات فرض شده است. ضربه‌زننده به جرم 0.1 کیلوگرم با سرعت 5 متر بر ثانیه و در فاصله 0.0002 متر از مرکز به تیر برخورد می‌کند.

برای درستی سنجی مطالعه حاضر، نتایج با حاصل پژوهش طاهری و زانگ [10] برای حالتی که ضربه محوری زده می‌شود، مقایسه شده است.

برای این مقایسه جابجایی محوری تیر در "شکل 2" نشان داده شده است. همان‌طور که در "شکل 2" مشاهده می‌شود، با درصد خطای 9٪ می‌توان گفت تطبیق خوبی وجود دارد. بنابراین می‌توان از این روش جهت حل معادلات حاکم بر سیستم استفاده نمود. در ادامه به بررسی تیر با نقص هندسی اولیه و به صورت ضربه خارج از محور پرداخته می‌شود.

با در نظر گرفتن اطلاعات موجود در جدول 1 جابجایی محوری نوک تیر و خیز عرضی وسط تیر در "شکل 3" و "شکل 4" بر حسب زمان نمایش داده شده است.

با توجه به "شکل 4"، خیز تیر پس از رسیدن موج حاصل از برخورد جسم به وسط تیر شروع می‌شود و در زمان حدود 0.4 میلی ثانیه به حداقل مقدار می‌رسد.

در ادامه برای بررسی تأثیر هر یک از پارامترها بر زمان تماس و تغییرشکل تیر، نمودارها تا لحظه جدایش ضربه‌زننده از تیر ترسیم خواهد شد. این زمان با در نظر گرفتن این نکته که تا زمانی که تا زمانی که نیروی بین

جدول 1 ابعاد و مشخصات مکانیکی تیر

| مقدار                      | پارامتر                    |
|----------------------------|----------------------------|
| 0.25 (m)                   | طول ( $l$ )                |
| 0.02 (m)                   | عرض ( $b$ )                |
| 0.0016 (m)                 | ضخامت ( $h$ )              |
| 2100 ( $\text{kgm}^{-3}$ ) | چگالی ( $\rho$ )           |
| 39 (GPa)                   | مدول یانگ طولی ( $E_1$ )   |
| 8.6 (GPa)                  | مدول یانگ عرضی ( $E_2$ )   |
| 3.8 (GPa)                  | مدول برشی ( $G_{12}$ )     |
| 0.28                       | ضریب پواسون ( $\nu_{12}$ ) |

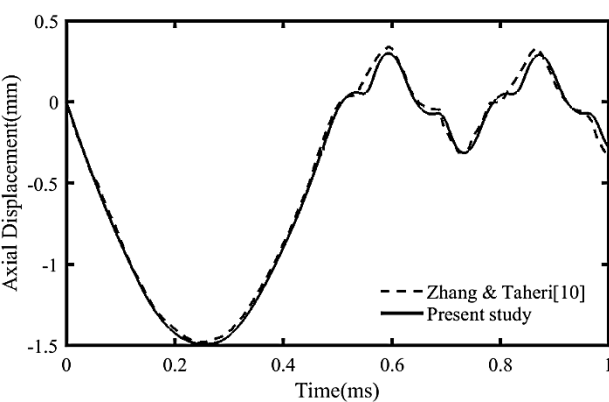


Fig. 2 Axial displacement of the beam

شکل 2 جابجایی محوری تیر

$$\begin{aligned} -\frac{I_0}{\Delta t^2} w_0^{k+1}(x_i) &= -I_0 \left( \frac{1}{\Delta t^2} w_0^k(x_i) + \frac{1}{\Delta t} \dot{w}_0^k(x_i) \right) \\ -\frac{1}{2} \ddot{w}_0^k(x_i) \end{aligned} \quad (21)$$

مانند معادلات حرکت، شرایط مرزی نیز بازنویسی می‌شوند.

$$\begin{aligned} A_{11} \left[ \left( \sum_{j=2}^N a_{Nj}^{(1)} u_0^{k+1}(x_j) \right) + \frac{1}{2} \left( \sum_{j=2}^{N-1} a_{Nj}^{(1)} w_0^{k+1}(x_j) \right)^2 \right. \\ - \frac{\pi^2}{2l^2} W_0^2 ] + (B_{11} - c_1 E_{11}) \left( \sum_{j=1}^N a_{Nj}^{(1)} \phi^{k+1}(x_j) \right) \\ - c_1 E_{11} \left( \sum_{j=2}^{N-1} a_{Nj}^{(2)} w_0^{k+1}(x_j) \right) \\ + \frac{M}{\Delta t^2} \left( u_0^{k+1}(x_N) + (e - c_1 e^3) \phi^{k+1}(x_N) \right) = Mg \\ + M \left( \frac{1}{\Delta t^2} u_0^k(x_N) + \frac{1}{\Delta t} \dot{u}_0^k(x_N) - \frac{1}{2} \ddot{u}_0^k(x_N) \right) \\ + M(e - c_1 e^3) \left( \frac{1}{\Delta t^2} \phi^k(x_N) + \frac{1}{\Delta t} \dot{\phi}^k(x_N) - \frac{1}{2} \ddot{\phi}^k(x_N) \right) \\ (B_{11} - c_1 E_{11}) \left[ \left( \sum_{j=2}^N a_{Nj}^{(1)} u_0^{k+1}(x_j) \right) - \frac{\pi^2}{2l^2} W_0^2 \right. \\ \left. + \frac{1}{2} \left( \sum_{j=2}^{N-1} a_{Nj}^{(1)} w_0^{k+1}(x_j) \right)^2 \right] \\ + (c_1^2 H_{11} - c_1 F_{11}) \left( \sum_{j=2}^{N-1} a_{Nj}^{(2)} w_0^{k+1}(x_j) \right) \\ + (D_{11} - 2c_1 F_{11} + c_1^2 H_{11}) \left( \sum_{j=1}^N a_{Nj}^{(1)} \phi^{k+1}(x_j) \right) \\ + \frac{M}{b \Delta t^2} [(e - c_1 e^3) u_0^{k+1}(x_N) \\ + (e^2 - 2c_1 e^4 + c_1^2 e^6) \phi^{k+1}(x_N)] = \frac{(e - c_1 e^3) M}{b} g \\ + \frac{M(e - c_1 e^3)}{b} \left( \frac{1}{\Delta t^2} u_0^k(x_N) + \frac{1}{\Delta t} \dot{u}_0^k(x_N) - \frac{1}{2} \ddot{u}_0^k(x_N) \right) \\ + \frac{M(e^2 - 2c_1 e^4 + c_1^2 e^6)}{b} \left( \frac{1}{\Delta t^2} \phi^k(x_N) + \frac{1}{\Delta t} \dot{\phi}^k(x_N) - \frac{1}{2} \ddot{\phi}^k(x_N) \right) \end{aligned} \quad (22)$$

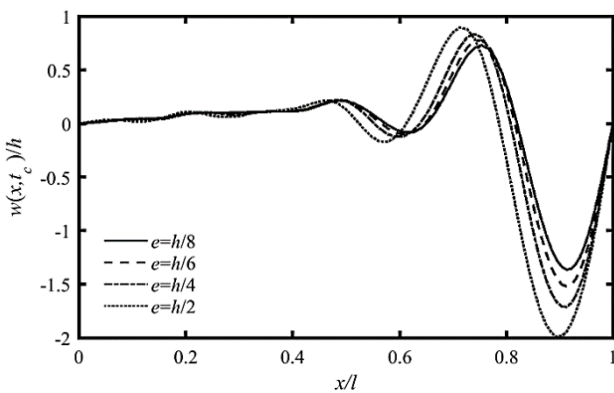
$$w_0(x_N) = 0$$

$$u_0(x_1) = 0$$

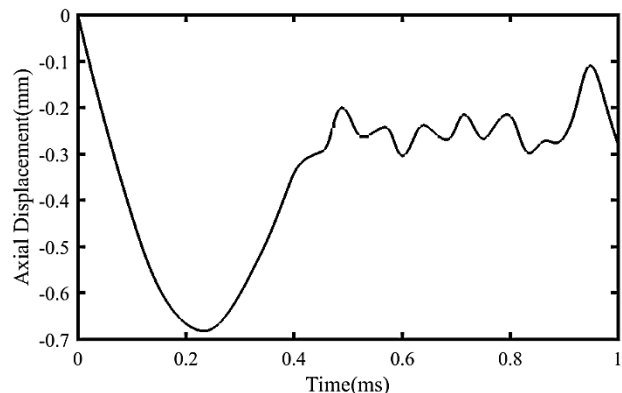
$$w_0(x_1) = 0$$

$$\sum_{j=1}^N a_{1j}^{(1)} \phi^{k+1}(x_j) = 0 \quad (23)$$

معادلات به صورت مجموعه‌ای از معادلات جبری که دارای  $(3N \times 3N)$  معادله و مجھول است، تبدیل می‌شوند. سه شرط مرزی در  $x=0$  با توجه به معادله (23) و سه شرط مرزی دیگر در  $x=l$  با توجه به رابطه (22) اعمال شده و درنهایت برای تعیین جابجایی‌ها از روش تکرار نیوتون-رافسون استفاده خواهد شد [19]. روش تکرار نیوتون-رافسون یکی از بهترین و قدرتمندترین روش‌های شناخته شده برای حل مسائل غیرخطی سیستم‌ها می‌باشد.



شکل 6 تأثیر فاصله خروج از مرکزی بر تغییرشکل عرضی



شکل 3 جابجایی محوری تیر

همان‌طور که از "شکل 5" مشخص است با افزایش نقص هندسی اولیه تغییرشکل عرضی تیر افزایش می‌یابد.

با توجه به "شکل 6" مشاهده می‌شود با افزایش فاصله خروج از مرکزی تغییرشکل عرضی تیر نیز افزایش می‌یابد.

برای بررسی اثر سرعت ضربه‌زننده بر تیر، بیشینه تغییرشکل تیر در حالتی که جرم ضربه‌زننده ثابت است و با سرعت‌های مختلف به تیر برخورد می‌کند در "شکل 7" ترسیم شده است. همچنین اثر جرم ضربه‌زننده بر بیشینه تغییرشکل تیر در "شکل 8" نشان داده شده است.

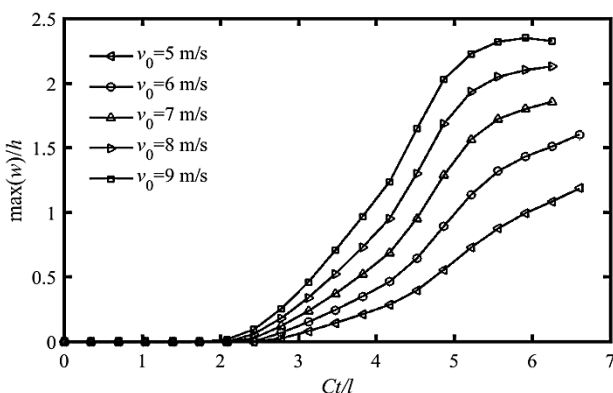
با توجه به "شکل‌های 7 و 8" مشخص است، جرم ضربه‌زننده بر زمان تماس و همچنین بیشینه تغییرشکل عرضی مؤثر است. با افزایش جرم ضربه‌زننده بیشینه تغییرشکل عرضی و زمان تماس افزایش می‌یابد. سرعت ضربه‌زننده بر زمان تماس تأثیر چندانی ندارد اما بر مقدار تغییرشکل عرضی تیر به طور قابل توجهی تأثیر می‌گذارد.

در "شکل 9" تأثیر لایه چینی‌های مختلف بر تغییرشکل تیر بررسی شده است. در این شکل سه لایه چینی متقارن، پادمتقارن و نامتقارن با زاویه‌های مختلف و همچنین تیر با لایه‌های صفر درجه ترسیم شده است.

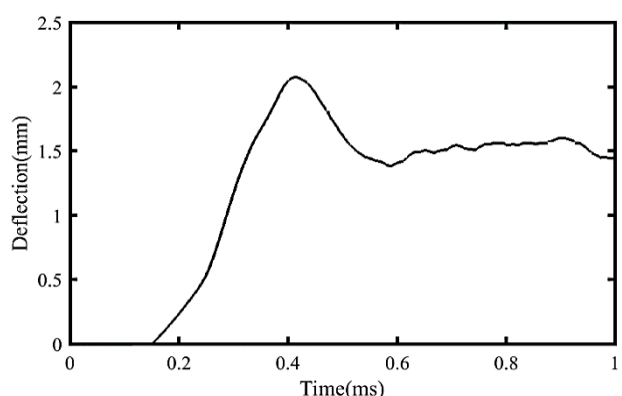
با توجه به شکل، بیشینه تغییرشکل در حالتی که لایه چینی فقط با زاویه صفر باشد، دارای کمترین مقدار و در حالتی که چیدمان لایه‌ها پادمتقارن باشد، دارای بیشترین مقدار است. بنابراین در چیدمان لایه‌ها در مواد مرکب برای کمترین تغییرشکل بهتر است از لایه با زاویه‌های صفر استفاده نمود.

## 5- نتیجه‌گیری

در این پژوهش از تئوری مرتبه سوم برشی برای مدل کردن تغییرشکل یک



شکل 7 تأثیر سرعت ضربه‌زننده بر بیشینه تغییرشکل عرضی



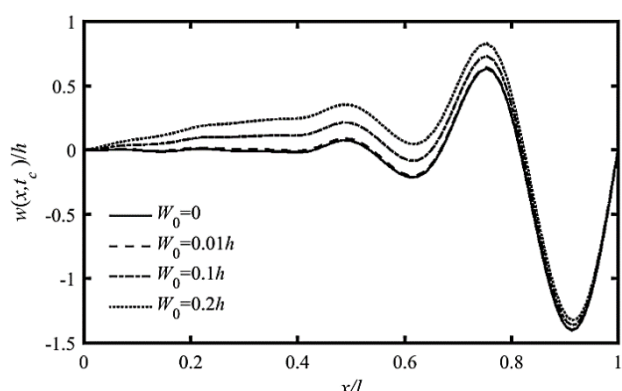
شکل 4 تغییرشکل تیر

ضربه‌زننده و تیر فشاری باشد، تیر و ضربه‌زننده در تماس می‌باشند، قابل محاسبه است.

برای بررسی زمان بی‌بعد سرعت انتشار موج با توجه به معادله (24) به دست می‌آید.

$$C = \sqrt{\frac{A_{11}}{I_0}} \quad (24)$$

که  $I_0$  و  $A_{11}$  به ترتیب در معادلات (6) و (14) تعریف شده‌اند. تأثیر نقص هندسی اولیه و همچنین تأثیر فاصله خروج از مرکزی به ترتیب در "شکل‌های 5 و 6" نمایش داده شده است.



شکل 5 تأثیر نقص هندسی اولیه بر تغییرشکل عرضی

|                                       |                  |
|---------------------------------------|------------------|
| مدول برشی (GPa)                       | $G_{12}$         |
| ارتفاع ستون (m)                       | $h$              |
| طول ستون (m)                          | $l$              |
| جرم ضربه‌زننده (kg)                   | $M$              |
| تعداد گره‌ها در روش تربیع دیفرانسیلی  | $N$              |
| ضرایب سختی تبدیل ماده                 | $\bar{Q}_{ij}$   |
| زمان (s)                              | $t$              |
| جابجایی طولی مقطع میانی ستون          | $u_0$            |
| جابجایی عرضی مقطع میانی ستون          | $w_0$            |
| نقص هندسی اولیه                       | $\overline{w}_0$ |
| مقدار بیشینه نقص هندسی اولیه (m)      | $W_0$            |
| محورهای مختصات در سه بعد              | $x, y, z$        |
| علایم یونانی                          |                  |
| ضریب پواسون                           | $\nu_{12}$       |
| چگالی ( $\text{kgm}^{-3}$ )           | $\rho$           |
| چرخش سطح نسبت به محور عمودی           | $\phi$           |
| زیرنویس‌ها                            |                  |
| مختصات گره‌ها در روش تربیع دیفرانسیلی | $i, j$           |

## 7- مراجع

- [1] H. Yung, F. Chang, Transient dynamic analysis of laminated composite plate subjected to transverse impact, *Composite Structures*, Vol. 31, No. 3, pp. 453–466, 1989.
- [2] H. Abramovich, A. Grunwald, Stability of axially impacted composite plates, *Composite Structures*, Vol. 31, No. 1, pp. 151–158, 1995.
- [3] J. Ari-Gur, T. Weller, J. Sing, Experimental and theoretical studies of columns under axial impact, *solids and structures*, Vol. 18, No. 7, pp. 619–641, 1982.
- [4] W. Ji, A. M. Waas, Dynamic bifurcation buckling of an impacted column, *Engineering Science*, Vol. 46, No. 9, pp. 958–967, 2008.
- [5] T. Kubiak, Estimation of dynamic buckling for composite columns with open cross-section, *Computers and Structures*, Vol. 89, No. 21, pp. 2001–2009, 2011.
- [6] A. Teter, Z. Kolakowski, Coupled dynamic buckling of thin-walled composite columns with open cross-sections, *Composite Structures*, Vol. 95, No. 1, pp. 28–34, 2013.
- [7] W. Ji, A. M. Waas, The temporal evolution of buckling in a dynamically impacted column, *Applied Mechanics*, Vol. 80, No. 1, pp. 011026-1/7, 2013.
- [8] M. Rezvanian, A. M. Baghestani, M. Danesh Pazhooh, S. J. Fariborz, Off-center impact of an elastic column by a rigid mass, *Mechanics Research Communications*, Vol. 63, No. 1, pp. 21–25, 2015.
- [9] Z. Zhang, F. Taheri, Numerical studies on dynamic pulse buckling of a FRP composite laminated beams subject to an axial impact, *Composite Structures*, Vol. 56, No. 3, pp. 269–277, 2002.
- [10] Z. Zhang, F. Taheri, Dynamic pulsebuckling and postbuckling of composite laminated beam using higher order shear deformation theory, *Composite part B*, Vol. 34, No. 4, pp. 391–398, 2003.
- [11] S. Dariush, M. Sadighi, A nonlinear high order theory for analysis of sandwich beam with flexible core under low velocity impact, *Modares Mechanical Engineering*, Vol. 15, No. 9, pp. 381–388, 2015. (in Persian فارسی)
- [12] R. Paknejad, F. Ashenai Ghasemi, K. Malekzadeh Fard, Response of fully-clamped composite laminated plate subjected to low-velocity impact using Galerkin method, *Modares Mechanical Engineering*, Vol. 14, No. 1, pp. 45–50, 2014. (in Persian فارسی)
- [13] S. Seifoori, G. H. Liaghat, M. Foladi, Low velocity impact on Timoshenko nanobeam using a nonlocal elasticity theory, *Modares Mechanical Engineering*, Vol. 13, No. 8, pp. 151–160, 2013. (in Persian فارسی)
- [14] J. N. Reddy, *Mechanics of Laminated Composite Plates and Shells: Theory and Analysis*, Second Edition, pp. 100–101, Boca Raton: CRC Press, 2004.
- [15] J. N. Reddy, *An Introduction to Nonlinear Finite Element Analysis*, pp. 292–297, New York: Oxford University Press, 2004.

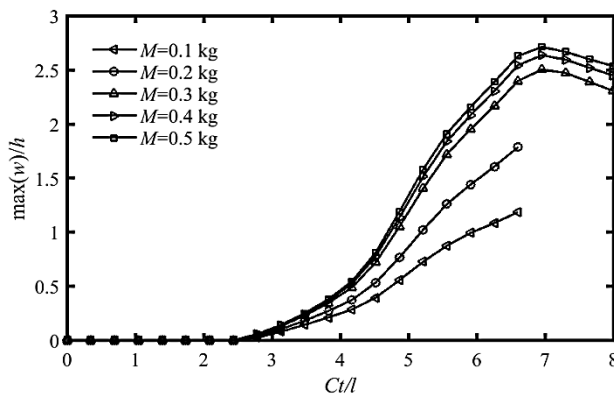


Fig. 8 Effect of impact mass on maximum transverse deformation

شکل 8 تأثیر جرم ضربه‌زننده بر بیشینه تغییرشکل عرضی

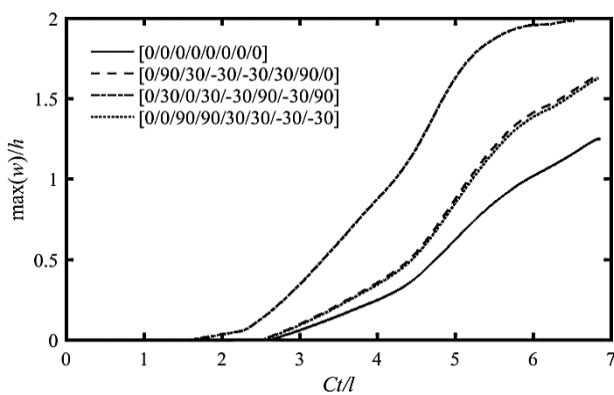


Fig. 9 Effect of angles of orientation of layers on maximum transverse deformation

شکل 9 تأثیر زاویه لایه‌ها بر بیشینه تغییرشکل عرضی

تیر با نقص هندسی اولیه تحت اثر ضربه غیرمحوری توسط یک جسم صلب استفاده شده است. معادلات با استفاده از اصل همیلتون به صورت مجموعه‌ای از معادلات غیرخطی و دینامیکی استخراج شدند. از روش نیومارک و تربیع دیفرانسیلی تعییم‌یافته برای گسته سازی معادلات در حوزه زمان و مکان استفاده شد و سپس با استفاده از روش تکرار نیوتون-رافسون مجموعه معادلات جبری به دست آمده، حل شد. تأثیر سرعت و جرم ضربه‌زننده بر تغییرشکل تیر بررسی شد و نتایج نشان داد که جرم ضربه‌زننده بر زمان تماس اثر چندانی نداشته اما بر مقدار تغییرشکل عرضی مؤثر است. سرعت ضربه‌زننده همچنین تأثیر لایه چینی‌های مختلف (متقارن، نامتقارن و پادمتقارن) بر تغییرشکل تیر بررسی شده است. درنهایت نتایج حاصل از این پژوهش با مطالعات پیشین مقایسه و صحت پژوهش در انجام این تحلیل بررسی شد.

## 6- فهرست عالیم

|                                      |            |
|--------------------------------------|------------|
| ضرایب وزنی روش تربیع دیفرانسیلی      | $a_{ij}$   |
| عرض ستون (m)                         | $b$        |
| سرعت انتشار موج ( $\text{ms}^{-1}$ ) | $C$        |
| مدول یانگ (GPa)                      | $E_2, E_1$ |

- [18] S. P. Timoshenko, J. M. Gere, *Theory of elastic stability*, Second Edition, pp. 31-32, New York: McGraw-Hill, 1961.
- [19] R. L. Burden, J. D. Faires, *Numerical Analysis*, Ninth Edition, pp. 638-643, Boston: Cengage Learning, 2010.
- [16] C. Shu, *Differential Quadrature and Its Application in Engineering*, pp. 29-36, London: Springer, 2000.
- [17] H. Afshari, M. Irani, K. Torabi, Free whirling analysis of multi-step Timoshenko rotor with multiple bearing using DQEM, *Modares Mechanical Engineering*, Vol. 14, No. 10, pp. 109-120, 2014. (in Persian) (فارسی)